

# Pairing の計算法とその実装

筑波大学 岡本栄司

謝辞 松田誠一、金山直樹、Jean-Luc Beuchat  
白勢政明、高木 剛、土井 洋、側高幸治

---

# 発表内容

- Pairingとは
  - Pairing計算法
    - 曲線について→2.
  - ソフトウェア実装
  - ハードウェア実装
  - 応用→3., 4.
-

# Pairing

$$e : G_1 \times G_2 \rightarrow G_3$$

$G_1, G_2, G_3$  : 群

- 双線形性

$$e(P_1 + P_2, Q) = e(P_1, Q) \cdot e(P_2, Q)$$

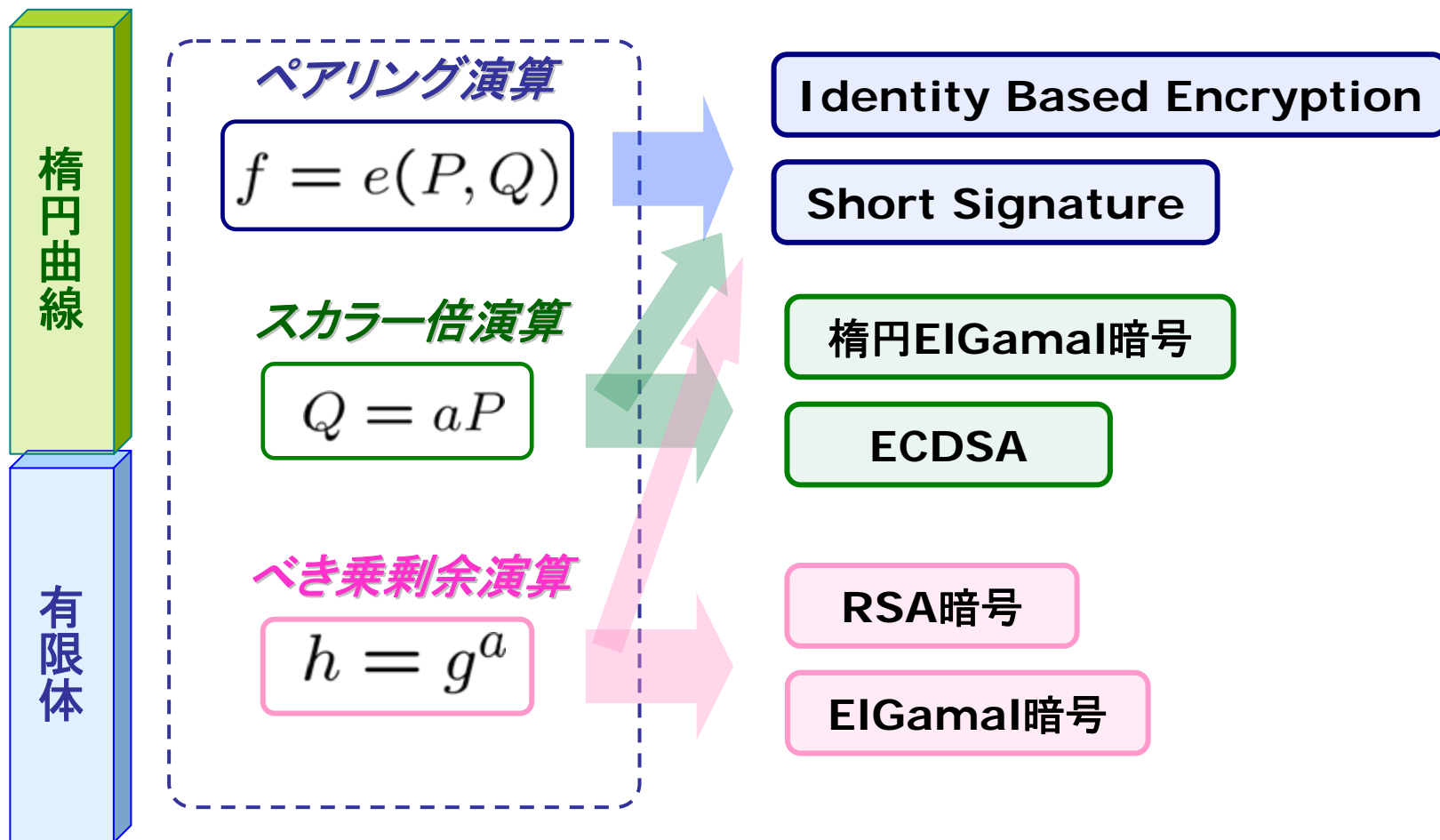
$$e(P, Q_1 + Q_2) = e(P, Q_1) \cdot e(P, Q_2)$$

- 非縮退性

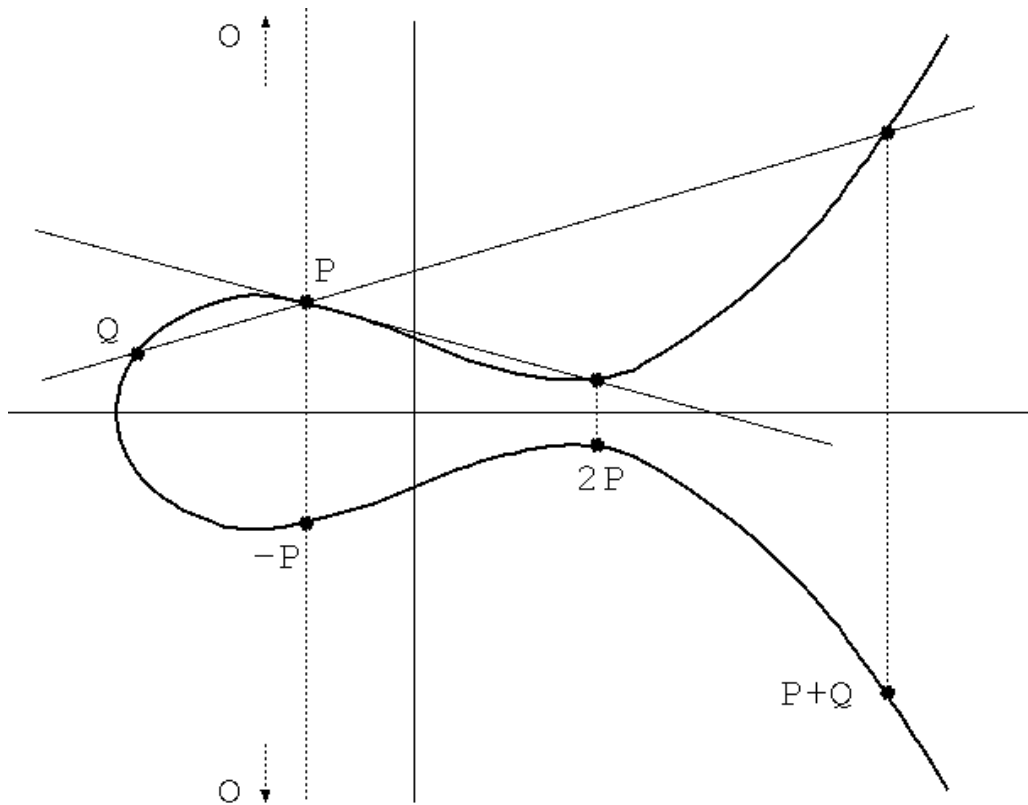
$$\forall P, e(P, Q) = 1 \Rightarrow Q = 0$$

$$\forall Q, e(P, Q) = 1 \Rightarrow P = 0$$

# 暗号におけるPairingの位置づけ



# 橢圓曲線



$$P = (x_1, y_1), Q = (x_2, y_2)$$

$$P + Q = (x_3, y_3)$$

$$x_3 = \lambda^2 - x_1 - x_2$$

$$y_3 = \lambda(x_1 - x_3) - y_1$$

$$\lambda = \begin{cases} \frac{y_2 - y_1}{x_2 - x_1} & \text{if } P \neq \pm Q \\ \frac{3x_1^2 + a}{2y_1} & \text{if } P = Q \end{cases}$$

$$P + (-P) = O, P + O = P$$

$$aP = \underbrace{P + \dots + P}_a$$

$$E(F_q) = \{(x, y) \in F_q^2 : y^2 = x^3 + ax + b\} \cup \{O\}$$

# Pairing (Tate)

## ■ 楕円曲線

- Ordinary curve  $E/F_q : y^2 = x^3 + ax + b, q = p^m$
- 素数  $: r$   $\#E(F_q) = hr = q + 1 - t$  を満たす
- 埋め込み次数  $k : r | q^k - 1$  を満足する最小の整数

## ■ Tate Pairing

$$\langle \cdot, \cdot \rangle_r : \begin{cases} E(\mathbb{F}_q)[r] \times E(\mathbb{F}_{q^k})/rE(\mathbb{F}_{q^k}) & \rightarrow \mathbb{F}_{q^k}^*/(\mathbb{F}_{q^k}^*)^r \\ (P, Q) & \mapsto \langle P, Q \rangle_r = f_{r,P}(Q) \end{cases}$$

### Reduced

$$\text{Tate Pairing} \quad e(P, Q) = \langle P, Q \rangle_r^{(q^k - 1)/r}$$

双線形性、非縮退性

# Tate Pairing 計算のフロー

INPUT :  $P \in E(F_q)[r], Q \in E(F_{q^k})$

Distortion map:  $\phi$

Miller's Algorithm

Point Addition

Final Powering

Computing line  $l$

OUTPUT :  $f_{r,P}(\phi(Q))^{\frac{q^k-1}{r}} \in F_{q^k}$

# Divisor

$$D = \sum_i a_i (A_i), \quad A_i \in E$$

$$\deg(D) = \sum_i a_i \in \mathbb{Z}$$

$$\text{sum}(D) = \sum_i a_i A_i \in E$$

$$\text{Principal Divisor: } \text{div}(f) = \sum_{A \in E} \text{ord}_A(f)(A) \in \text{Div}(E)$$

$$\text{ord}_A(f) = \text{Multiplicity of } f \text{ at } A \text{ over } E$$

補題  $\text{Div}_0(E)$ において、 $\text{sum}(D) = \mathbf{O} \Leftrightarrow \text{div}(\exists f) = D$



# Principal Divisorの例

$$\operatorname{div}(l_{R,S}) = (R) + (S) + (-(R+S)) - 3(O)$$

$$\operatorname{div}(v_P) = (P) + (-P) - 2(O)$$

$l_{R,S}$ は $R$ と $S$  [と $-(R+S)$ と $O$ ]を通る直線

$v_P$ は $P$  [と $-P$ と $O$ ]を通る垂線

# $f_{r,P}$ の定義

$$\operatorname{div}(f_j) = j(P) - (jP) - (j-1)(O)$$

$$\operatorname{deg}(j(P) - (jP) - (j-1)(O)) = 0$$

$$\operatorname{sum}(j(P) - (jP) - (j-1)(O)) = 0$$

$$f_{r,P} \stackrel{\text{def}}{=} f_r$$

# Pairingの計算法

## ■ 再帰的公式

$$f_{i+j} = f_i f_j \frac{l_{iP, jP}}{v_{(i+j)P}}$$

∴)

$$\text{div}(f_{i+j}) - \text{div}(f_i) - \text{div}(f_j)$$

$$= \{(i+j)(P) - ((i+j)P) - (i+j-1)(O)\} - \{i(P) - (iP) - (i-1)(O)\} - \{j(P) - (jP) - (j-1)(O)\}$$

$$= (iP) + (jP) - ((i+j)P) - (O)$$

$$= \{(iP) + (jP) + (-(i+j)P) - 3(O)\} - \{((i+j)P) + (-(i+j)P) - 2(O)\}$$

$$= \text{div}(l_{iP, jP}) - \text{div}(v_{(i+j)P})$$

$$= \text{div} \left( \frac{l_{iP, jP}}{v_{(i+j)P}} \right)$$

# Millerのアルゴリズム

$e(P, Q)$ の計算

$$r = (r_{t-1}, \dots, r_0)_2, f = 1, V = P$$

for  $i = t - 1$  to  $0$  do

$$f = f^2 \frac{l_{V,V}(Q)}{v_{2V}(Q)} \text{ and } V = 2V$$

$$\text{if } r_i = 1 \text{ then } f = f \frac{l_{V,P}(Q)}{v_{V+P}(Q)} \text{ and } V = V + P$$

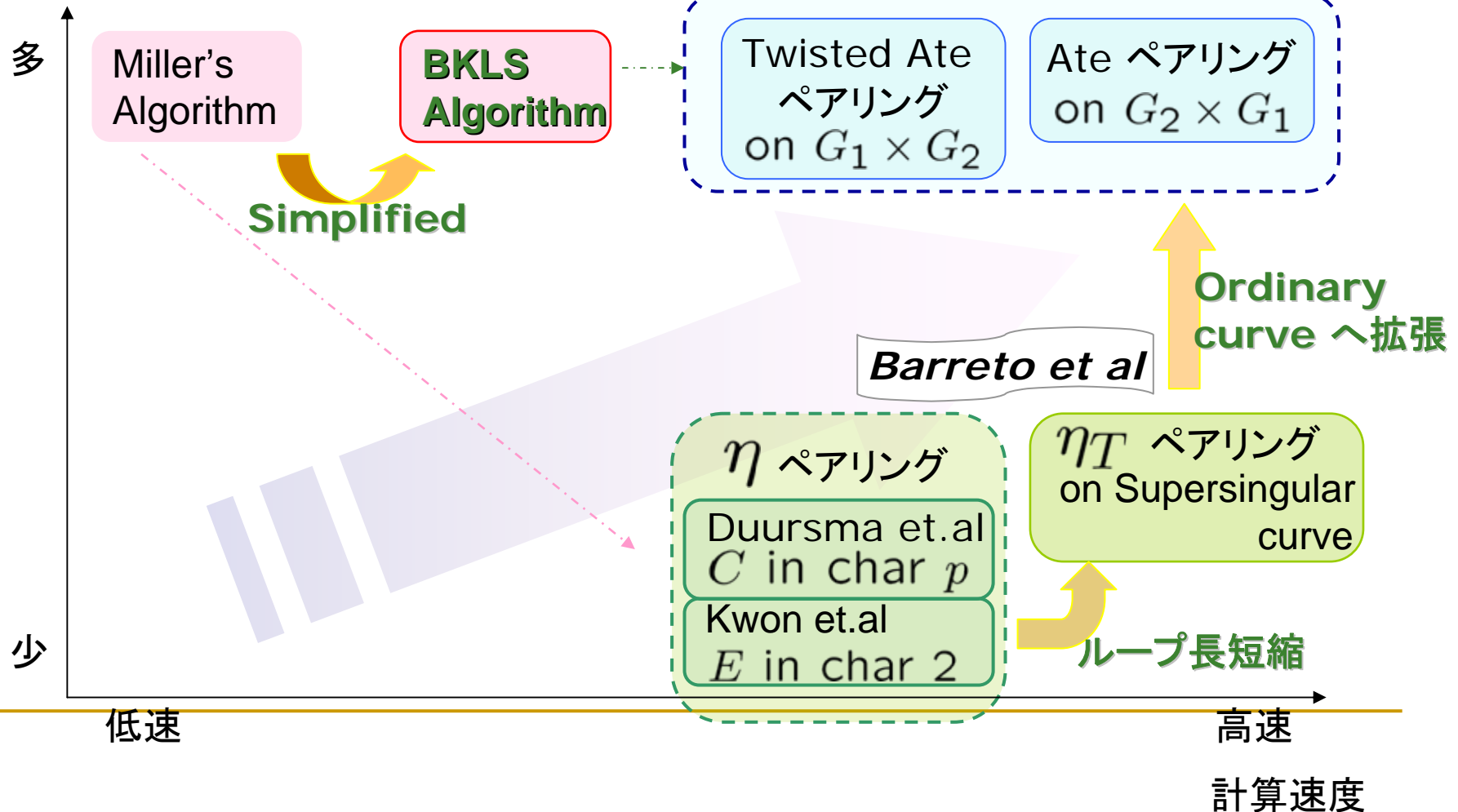
end for

$$\text{return } f^{\frac{q^k - 1}{r}}$$

# アルゴリズムの研究動向

$$G_1 : E(F_q)[r]$$
$$G_2 : E(F_{q^k})[r]$$

適用可能な  
曲線の種類



# Pairing-friendly Curve

$$\tau : \mathbb{G}_1 \times \mathbb{G}_2 \rightarrow \mathbb{F}_q^*$$

k

## Ordinary Curve

一般的な曲線の  
埋め込み次数は数十～百ビット

埋め込み次数

## Supersingular Curve

1. Distortion map  $\psi$
2. 固定の埋め込み次数 ( $k=2, 3, 4, 6$ )

**Duursma and Lee (2003)**  
**Eta ペアリング (2004)**

## Pairing-friendly Curve

1. 任意の埋め込み次数  
( $k=1, 2, 3, 4, \dots, 24 \dots$ )

**Twisted Ate ペアリング (2006)**  
**Ate ペアリング (2006)**

# Pairing-friendly Curve

- Supersingular Curve

$$E[p] = \{R \in E(\overline{F_p}) \mid pR = O\} = \{O\}$$

位数がわかっているという特徴がある。

$$q = p^m \text{ なら } y^2 = x^3 + 1 (p \equiv 2 \pmod{3}), y^2 = x^3 + x (p \equiv 3 \pmod{4}) \text{ で } \#E(F_q) = p + 1$$

$$q = 2^m \text{ なら } y^2 + y = x^3 + x \text{ や } y^2 + y = x^3 + x + 1 \text{ で } \#E(F_q) = 2^m + 1 \pm 2^{\frac{m+1}{2}}$$

$$q = 3^m \text{ なら } y^2 = x^3 - x \pm 1 \text{ で } \#E(F_q) = 3^m + 1 \pm 3^{\frac{m+1}{2}}$$

- MNT Curve → 2.

- Ordinary Curve

- Twisted Ate、Ate[HSV06] → Optimization [MKHO07]

# 留意点

## ■ 点 $P, Q$ の求め方

$$(P, Q) \in E(F_q)[r] \times E(F_{q^k}) / rE(F_q)$$

$$P = \frac{\#E(F_r)}{r} R, \quad \forall R \in E(F_r)$$

$Q \in E(F_{q^k}) - E(F_q)$  でないと最終幕で  $e(P, Q) = 1$  となってしまう。

## ■ Distortion Map利用 ← Supersingular

$$\phi: E(F_q) \rightarrow E(F_{q^k}) - E(F_q)$$

例  $\phi(x, y) = (-x, iy)$   $q = p$  のとき、 $i^2 + 1 = 0$

$\phi(x, y) = (\rho - x, \sigma y)$   $q = 3^m$  のとき、 $\sigma^2 + 1 = 0, \rho^3 - \rho - 1 = 0$

ただし  $y^2 = x^3 - x + 1$



# 簡単化Millerアルゴリズム ( $q=p$ のとき)

$e(P, Q)$ の計算

$$r = (r_{t-1}, \dots, r_0)_2, f = 1, V = P$$

for  $i = t-1$  to  $0$  do

$$f = f^2 \cdot l_{V,V}(\varphi(Q)) \text{ and } V = 2V$$

$$\text{if } r_i = 1 \text{ then } f = f \cdot l_{V,P}(\varphi(Q)) \text{ and } V = V + P$$

end for

$$\text{return } f^{\frac{q^k-1}{r}}$$

# 標数 $p=3$ のとき的高速化と $\eta_T$ Pairing

- 3倍算が容易

$$3(x, y) = (x^9 - 1, -y^9)$$

- $r$  の3進表現

$r = (r_{t-1}, \dots, r_0)_3$ ,  $r_i = 0, \pm 1$  とすると、 $-P$  の計算の容易性を使える。

- 2次曲線利用

再帰式  $f_{3j} = f_j^3 \frac{l_{jP, 2jP}}{v_{3jP}} \cdot \frac{l_{jP, jP}}{v_{2jP}}$  において

直線4式の代わりに  $h_V = \beta^3 y - (\alpha^3 - x + b)^2$  が使える。

- $\eta_T$  Pairing

$r$  より小さいある  $T$  に対して、 $\eta_T(P, Q) = f_{T,P}(\phi(Q))$  は双線形性を持ち、

$$(\eta_T(P, Q))^M)^{3T^2} = e(P, \phi(Q))^L$$

# $\eta_T$ Pairingアルゴリズム

$\eta_T(P, Q)$ の計算

$$P = (x_p, y_p), Q = (x_q, y_q)$$

$$y_p \leftarrow -y_p$$

$$f \leftarrow \sigma y_q + y_p(\rho - x_p - x_q - 1)$$

for  $j \leftarrow 0$  to  $(m-1)/2$  do

$$u \leftarrow x_p + x_q + b$$

$$g \leftarrow \sigma y_p y_q - u^2 - \rho u - \rho^2$$

$$f \leftarrow fg$$

$$x_p \leftarrow x_p^{1/3}, y_p \leftarrow y_p^{1/3}$$

$$x_q \leftarrow x_q^3, y_q \leftarrow y_q^3$$

end for

return  $f$

# 改良 $\eta_T$ Pairing アルゴリズム [STO06]

$\eta_T(P, Q)^{3^{(m+1)/2}}$  の計算

$$y_p \leftarrow -y_p$$

$$u \leftarrow x_p + x_q + b$$

$$d \leftarrow b$$

$$f \leftarrow \sigma y_q - u y_p + \rho y_p$$

for  $j \leftarrow 0$  to  $(m-1)/2$  do

$$u \leftarrow x_p + x_q + d$$

$$g \leftarrow \sigma y_p y_q - u^2 - \rho u - \rho^2$$

$$f \leftarrow (fg)^3$$

$$y_p \leftarrow -y_p$$

$$x_q \leftarrow x_q^9, y_q \leftarrow y_q^9$$

$$d \leftarrow d - b \pmod{3}$$

end for

return  $f$

# $\eta_T$ Pairingの実装例: ソフトウェア

## 環境

- OS: Red Hat Linux 9
- CPU: P4 3.4GHz
- メモリ: 1GB

## 処理時間

- $\eta_T : E(F_{3^{97}}) \times E(F_{3^{697}}) \rightarrow F_{3^{697}}$  4.32msec

## 同環境で

- 1024ビットRSA型べき乗剰余演算 8.69msec

# $\eta_T$ Pairingの実装例:ハードウェア

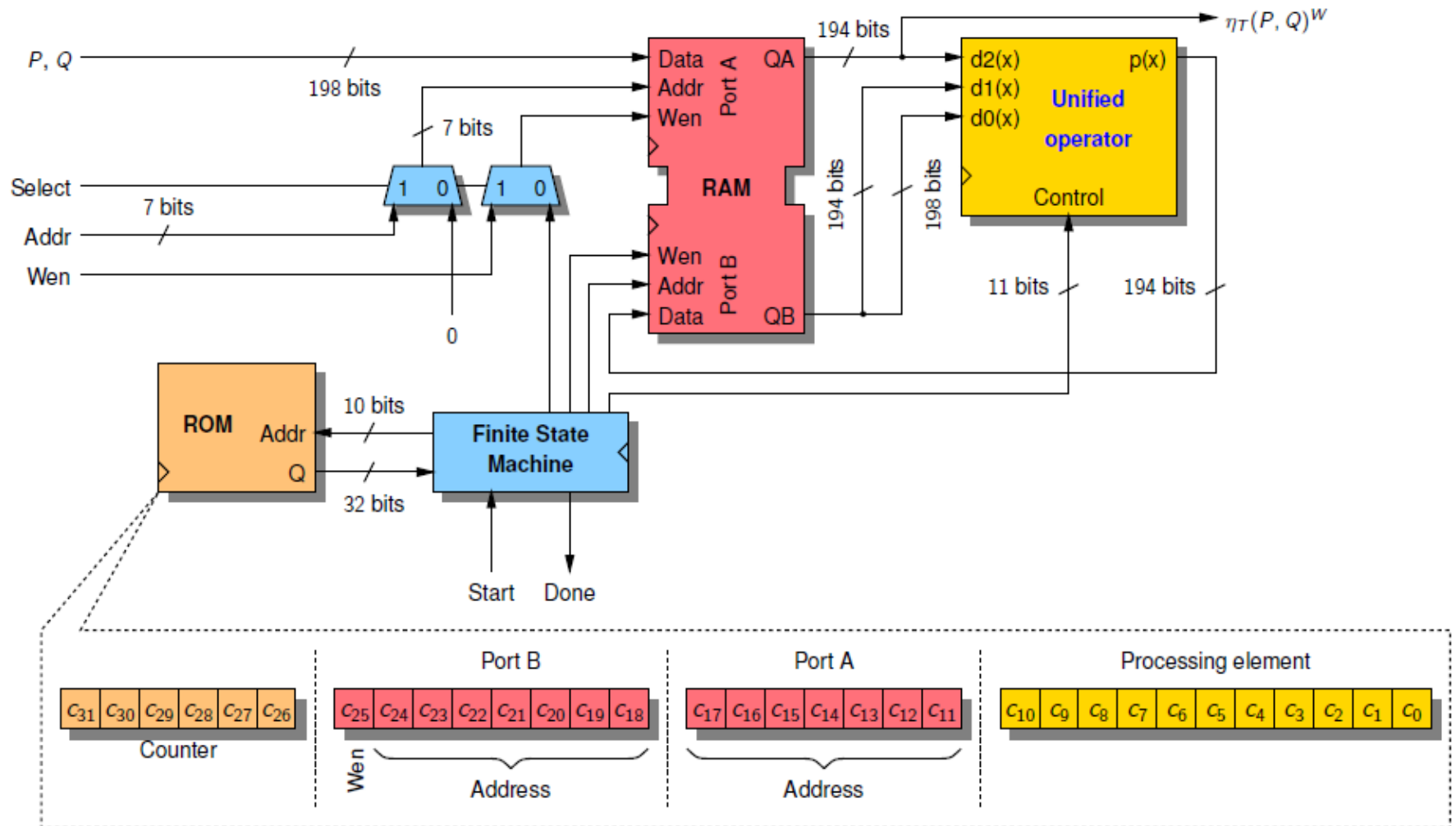
## ■ FPGA マルチプロセッサタイプ

- ・Cyclone II EP2C35
- ・9プロセッサ
- ・18000スライス
- ・クロック周波数 149MHz
- ・計算時間  $27 \mu\text{sec}$

## ■ FPGA シングルプロセッサタイプ

- ・Vertex-4 LX15
- ・1プロセッサ
- ・1857スライス
- ・クロック周波数 200MHz
- ・計算時間  $141 \mu\text{sec}$

# Hardware Architecture



---

# まとめ

- Pairingの定義を与えた。
  - Pairing計算のアルゴリズムを与え、その改良例を紹介した。
  - ソフトウェア実装例を示した。
  - ハードウェア実装例を示した。
-